

Университет ИТМО

Естественно-научный факультет  
Кафедра высшей математики

Герасимов Дмитрий Александрович

**Исследование полноты резонансных состояний  
оператора Шредингера для модели квантовых графов**

Научный руководитель: доктор физ.-мат. наук,  
профессор кафедры ВМ И. Ю. Попов

Санкт-Петербург  
2016

# Содержание

<b>Введение</b> . . . . .	<b>5</b>
<b>Глава 1. Предварительные сведения</b> . . . . .	<b>8</b>
1.1 Различные обозначения . . . . .	8
1.2 Уравнение Шредингера . . . . .	8
1.3 S-матрица . . . . .	9
1.4 Квантовые графы . . . . .	10
1.5 Преобразование Кэли . . . . .	10
1.6 Теория Лакса-Филипса . . . . .	11
1.7 Критерий сходимости . . . . .	12
<b>Глава 2. Описание реализованного подхода</b> . . . . .	<b>14</b>
2.1 Модель резонатора типа «пучок» . . . . .	14
2.1.1 Модель исследования . . . . .	14
2.1.2 Вычисление S-матрицы . . . . .	15
2.1.3 Доказательство полноты резонансных состояний при $a = b = 0$ . . . . .	15
2.1.3.1 Оценка $\int  g(t) ^2$ . . . . .	16
2.1.3.2 Оценка $\int  f(t) ^2$ . . . . .	17
2.1.3.3 Упрощение функции $s(k)$ . . . . .	17
2.1.3.4 Случай 1: $C - R \leq y \leq Z$ . . . . .	19
2.1.3.5 $C - R \leq y < \frac{V}{4}$ . . . . .	20
2.1.3.6 $\frac{V}{4} \leq y < Z$ . . . . .	21
2.1.3.7 Случай 2: $y > Z$ . . . . .	22
2.1.3.8 $Z \leq y < Z + \frac{1}{R}$ . . . . .	23
2.1.3.9 $Z + \frac{1}{R} \leq y < C$ . . . . .	24
2.1.3.10 $C \leq y \leq C + R$ . . . . .	24
2.1.3.11 Оценка $\int  f(t) ^2$ : итог . . . . .	25
2.2 Модель резонатора типа «кольцо» . . . . .	26
2.2.1 Модель исследования . . . . .	26
2.2.2 Вычисление S-матрицы . . . . .	27

2.2.3	Доказательство неполноты резонансных состояний при $a = 0$ . . . . .	27
2.2.4	Исследование полноты при $a \neq 0$ . . . . .	28
Заключение . . . . .		31
Список литературы . . . . .		33
Приложения . . . . .		34

# Введение

## ПОСТАНОВКА ЗАДАЧИ И ОБОСНОВАННОСТЬ ИССЛЕДОВАНИЯ

Исследования резонансов и резонансных состояний различных физических систем проводились давно, начиная с классической работы лорда Рэля [1], и по наши дни. Однако, строгое математическое обоснование и формализм этим явлениям были даны во второй половине XX века. Теперь известно, что резонансы являются собственными числами, а резонансные состояние — собственными функциями некого диссипативного оператора [2, 3].

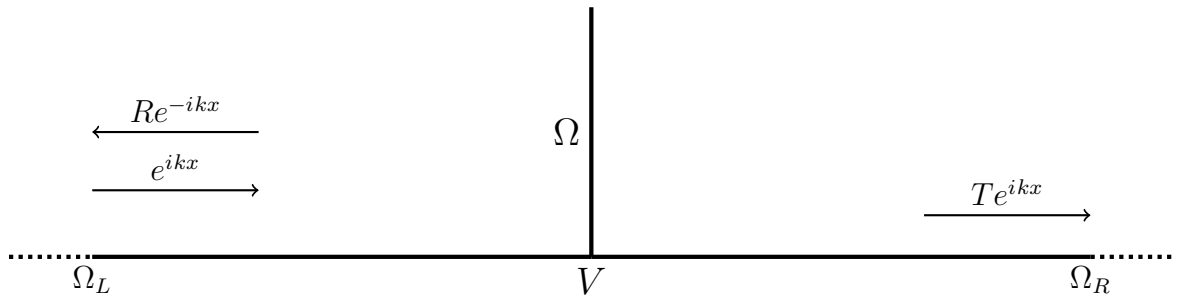
Одним из интересных как с математической, так и физической точек зрения вопросов является вопрос о полноте резонансных состояний. Рассмотрим некий конечный резонатор  $\Gamma$  с граничным условием Дирихле или Неймана. Как хорошо известно из теории операторов и рассеяния [4], оператор Шредингера в такой области будет обладать чисто дискретным спектром и полной системой собственных функций в  $\mathcal{L}^2(\Gamma)$ . Теперь применим к резонатору возмущение, соединив его через небольшое отверстие с волноводом. После этого, у системы будет непрерывный спектр, а собственные значения исходной системы превращаются в резонансы и «смещаются» в комплексную плоскость. Резонансные состояния формально удовлетворяют уравнению Шредингера и граничным условиям, однако не квадратично интегрируемы, так как их волновые функции не уходят в ноль на бесконечности, то есть не являются собственными функциями оператора Шредингера на новом домене. Однако, при сужении этих резонансных состояний на конечный домен  $\Omega$ , они вновь становятся интегрируемыми и принадлежат пространству  $\mathcal{L}_2(\Omega)$ . Интересным является вопрос о полноте этих

суженных состояний на домене  $\Omega$ , и соответственно, вопрос о поиске такого поддомена квантовой системы, на котором его резонансные состояния будут полны. Существует гипотеза о том, что таким поддоменом является выпуклая оболочка рассеивателя.

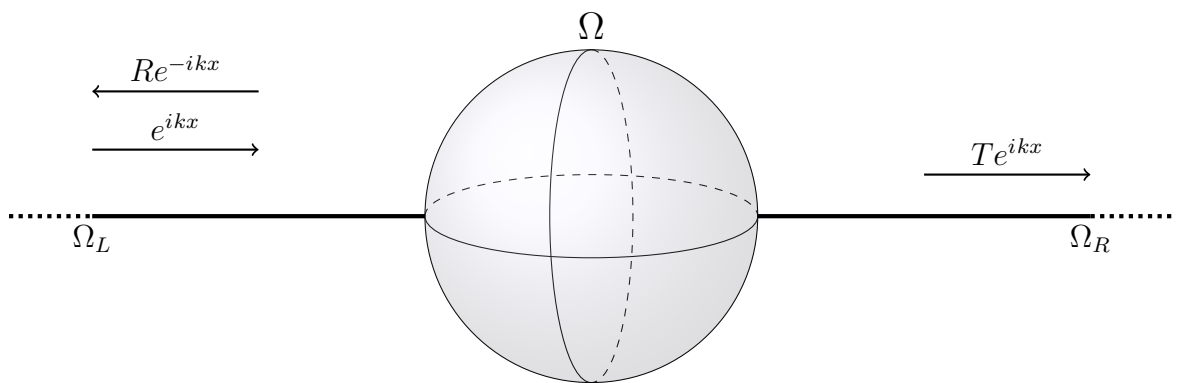
## ЦЕЛИ РАБОТЫ

Целью данной работы является исследование нескольких моделей квантовых графов и анализ их резонансных состояний на предмет их полноты на области резонатора.

## СТЕПЕНЬ РАЗРАБОТАННОСТИ ТЕМЫ И НАУЧНАЯ НОВИЗНА



**Рис. А:** Одномерный резонатор-отрезок с условием Дирихле на краю резонатора.



**Рис. Б:** Трехмерный резонатор (квантовая точка).

В работе [5] была показана полнота резонансных функций на графе с резонатором, состоящим из отрезка (рис. А), и резонатором в виде квантовой точки (рис. Б), других исследований в данном направлении автору

не известно.

## ПОЛОЖЕНИЯ, ВЫНОСИМЫЕ НА ЗАЩИТУ

В [разд. 2.1](#) исследована сложная квантовая система с резонатором типа «пучок» и строго аналитически доказана полнота системы резонансных состояний для произвольного количества проводов.

В [разд. 2.2](#) исследуется квантовая система с резонатором типа «кольцо». Анализируются различные граничные условия и показывается отсутствие полноты при  $a = 0$  ([разд. 2.2.3](#)), и наличие полноты системы резонансных состояний при  $a > 0$  ([разд. 2.2.4](#)).

# Глава 1. Предварительные сведения

## 1.1. РАЗЛИЧНЫЕ ОБОЗНАЧЕНИЯ

- $\mathbb{C}$  — комплексная плоскость,  $\mathbb{C} = \{x + iy \mid x, y \in \mathbb{R}\}$
- $\mathbb{H}$  — верхняя комплексная полуплоскость (англ. upper half-plane),  $\mathbb{H} = \{x + iy \mid y > 0, x, y \in \mathbb{R}\}$
- $\mathbb{D}$  — комплексный единичный круг (англ. unit disk),  $\mathbb{D} = \{z \mid |z| < 1\}$
- $\mathbb{T}$  — комплексная единичная окружность (англ. unit circle),  $\mathbb{T} = \partial\mathbb{D} = \{z \mid |z| = 1\}$
- $z$  используется в качестве переменной, обозначающей точку в верхней комплексной полуплоскости  $\mathbb{H}$
- $\zeta$  используется в качестве переменной, обозначающей точку на комплексном единичном диске  $\mathbb{D}$

## 1.2. УРАВНЕНИЕ ШРЕДИНГЕРА

Уравнение Шредингера описывает временную эволюцию чистых состояний квантовых систем во времени, и выглядит как:

$$i\hbar \frac{\partial}{\partial t} \Psi(t) = H\Psi(t)$$

,  $\hbar$  — приведенная постоянная Планка,  $H$  — гамильтониан, оператор полной энергии системы. Спектром гамильтониана является множество возможных значений энергии квантовой системы, которые можно получить при ее измерении.

Так как в этой работе нам интересна математическая задача рассеяния, и качественное поведение системы, а не конкретные значения энергий, далее мы будем игнорировать постоянную Планка и примем ее равной 1; а так система статична, и гамильтониан не зависит от времени, можно пе-

рейти к стационарному уравнению Шредингера:

$$H\Psi = E\Psi$$

При этом решения уравнения разделяются на два класса: связанные состояния (англ. bound states) — те, которые соответствуют дискретной части спектра и чью собственные функции являются квадратично интегрируемыми, и состояния рассеяния (англ. scattering states), которые являются лишь формальными решениями, и соответствуют непрерывной части спектра. Такие решения не лежат не являются квадратично интегрируемыми, и в них мы будем заинтересованы в данной работе.

### 1.3. S-МАТРИЦА

Рассмотрим локализованный одномерный потенциальный барьер или резонатор. Пусть на барьер слева и справа направлены частицы с волновым вектором  $k$  (который будет скаляром в одномерном случае). Слева и справа от резонатора частицы ведут себя как свободные, соответственно, в общем виде их волновые функции имеют следующий вид:

$$\begin{aligned}\psi_L(x) &= Ae^{ikx} + Be^{-ikx} \\ \psi_R(x) &= Ce^{ikx} + De^{-ikx}\end{aligned}\tag{1.1}$$

S-матрица, или матрица рассеяния (англ. scattering matrix) выражает зависимость исходящего состояния от входящего:

$$\begin{pmatrix} B \\ C \end{pmatrix} = S \begin{pmatrix} A \\ D \end{pmatrix}\tag{1.2}$$

, и полностью характеризует рассеивающие свойства потенциального барьера.

S-матрица обладает рядом интересных свойств [6, стр. 75], позволяющих анализировать рассеяние в квантовой системе: к примеру, S-матрица как функция комплексного аргумента, аналитична в верхней комплексной полуплоскости, а ее полюса соответствуют связным состояниям или резонансам.



## 1.4. КВАНТОВЫЕ ГРАФЫ

Квантовый граф (англ. quantum graph) — широко используемая модель наносистемы [7—9]. Квантовый граф представляет из себя набор вершин и линейных, одномерных ребер, их соединяющих, или уходящих на бесконечность (можно обратиться к [рис. А](#) в качестве простейшего примера). При этом на ребрах графа действует дифференциальный оператор, к примеру, оператор Шредингера свободной частицы:  $-\frac{d^2\psi}{dx^2}$ , а в вершинах графа установлено граничное условие, связывающее волновые функции на смежных ребрах.

## 1.5. ПРЕОБРАЗОВАНИЕ КЭЛИ

Прямое преобразование Кэли (англ. Cayley transform) конформно отображает  $\mathbb{H}$  в  $\mathbb{D}$ :

$$W(z) = \frac{z - i}{z + i} \quad (1.3)$$

, обратное преобразование Кэли аналогично отображает  $\mathbb{D}$  в  $\mathbb{H}$ :

$$w(\zeta) = i \frac{1 + \zeta}{1 - \zeta} \quad (1.4)$$

Важным свойством преобразование Кэли является инъективное отображение  $\mathbb{R}$  в единичную окружность  $\mathbb{T}$ .

Так как преобразование Кэли является трансформацией Мебиуса, оно сохраняет окружности. В частности, окружность с радиусом  $r$  в нуле, под действием обратного преобразование Кэли перейдет в окружность с центром в  $C(r)$  и радиусом  $R(r)$ , где:

$$\begin{aligned} C(r) &= \operatorname{Im} \frac{w(r) + w(-r)}{2} \\ R(r) &= \operatorname{Im} \frac{w(r) - w(-r)}{2} \end{aligned} \quad (1.5)$$

Легко заметить, что при стремлении  $r$  к 1,  $R(r)$  стремится к бесконечности, а  $C(r)$  стремится к  $R(r)$ , что естественно так как в пределе комплексная единичная окружность отображается в вещественную ось.

## 1.6. ТЕОРИЯ ЛАКСА-ФИЛИПСА

Мы рассматриваем рассеяние в подходе Лакса-Филипса, кратко опишем его (подробно с ним можно ознакомиться в работах [2, 10]).

Рассмотрим задачу Коши для волнового уравнения в области  $\Gamma$ :

$$\begin{aligned} u''_{tt} &= Hu \\ u(x, 0) &= u_0(x) \\ u'_t(x, 0) &= u_1(x). \end{aligned} \tag{1.6}$$

Пусть  $\mathcal{E}$  — гильбертово пространство двухкомпонентных функций с конечной энергией  $(u_0, u_1)$  на графе  $\Gamma$ :

$$\|(u_0, u_1)\|_{\mathcal{E}}^2 = \frac{1}{2} \int_{\Gamma} (|u'_0|^2 + |u_1|^2) dx$$

, где пара  $(u_0, u_1)$  называется данными Коши (англ. Cauchy data), а оператор  $U(t)$ , дающий решение этой задаче:  $U(t)(u_0, u_1) = (u(x, t), u'_t(x, t))$ , порождает унитарную группу  $\{U(t) \mid t \in \mathbb{R}\}$ . Данная группа содержит два ортогональных подпространства:  $D_-$  — входящее подпространство, и  $D_+$  — исходящее.

В теории рассеяния установлено, что существуют отображения  $T_{\pm} : \mathcal{R} \rightarrow \mathcal{L}^2(\mathbb{R}, \mathbb{C}^2)$ , такие что  $T_{\pm}U(t) = e^{iktT_{\pm}}$ , которые называются исходящим (соответственно, входящим) спектральным представлением унитарной группы  $U(t)$ . Обозначим  $K = \mathcal{E} \ominus (D_+ \oplus D_-)$ , и рассмотрим полу-группу  $Z(t) = \mathcal{P}_K U(t)|_K, t > 0$ , где  $\mathcal{P}_K$  — оператор проецирования на  $K$ . Пусть  $B$  — генератор  $Z(t)$ , то есть  $Z(t) = e^{iBt}$ , тогда собственные вектора этого оператора и будут резонансными состояниями, а  $T_-T_+^{-1}$  называется оператором рассеяния. Оператор рассеяния действует как умножения на матрично-значную функцию  $S(k)$ , и являющейся матрицей рассеяния (см. [разд. 1.3](#)).

**Теорема 1.1** ([11, стр. 95]). *Пусть  $S$  — внутренняя функция, тогда следующие утверждения эквивалентны:*

- Оператор  $Z$  полный.

- $S$  — произведение Бляшке-Потапова.

**Теорема 1.2** ([11, стр. 99]). Пусть вспомогательное пространство конечномерно. Тогда, следующие утверждения эквивалентны:

- $S$  — произведение Бляшке-Потапова.
- 

$$\lim_{r=1} \int_{\mathbb{T}} \log |\det S(r\zeta)| dm(\zeta) = 0 \quad (1.7)$$

Непосредственно применяя эти теоремы, и пользуясь тем, что нашим вспомогательным пространством является  $\mathbb{C}^2$ , получаем, что мы можем воспользоваться данным упрощенным критерием для доказательства полноты резонансных состояний в квантовом графе.

## 1.7. КРИТЕРИЙ СХОДИМОСТИ

Так как  $\det S$  является скалярной внутренней функцией [11], мы можем воспользоваться критерием 1.7 для исследования полноты системы резонансных состояний. В пространстве единичного диска он будет выглядеть как:

$$\lim_{r=1} \int_{|\zeta|=r} \log |\det S(\zeta)| d\zeta = 0 \quad (1.8)$$

Так как  $S$ -матрица естественным образом определена на комплексной плоскости, иногда бывает удобнее работать с этим признаком в верхней полуплоскости  $\mathbb{H}$ , а не на единичном диске. Заменим в (1.8) переменную, применив к интегралу преобразование Кэли (1.3) к дифференциалу и области интегрирования, получив:

$$\lim_{r \rightarrow 1} \int_{C_r} \ln |\det S(k)| \frac{2i}{(k+i)^2} dk = 0 \quad (1.9)$$

, где  $C_r$  — образ  $|\zeta| = r$  относительно обратного преобразования Кэли. Для удобства вычислений параметризуем  $C_r$  как  $C_r = \{R(r)e^{it} + iC(r) \mid t \in [0, 2\pi)\}$  (см. 1.5). Для краткости, обозначим:

$$s(k) = |\det S(k)|$$

, и, откинув константы, не влияющие на сходимость/расходимость интеграла, получаем финальную форму критерия, которой и будем пользоваться в дальнейшем:

$$\lim_{r \rightarrow 1} \int_0^{2\pi} \ln s(R(r)e^{it} + iC(r)) \frac{R}{(R(r)e^{it} + iC(r) + i)^2} dt = 0 \quad (1.10)$$

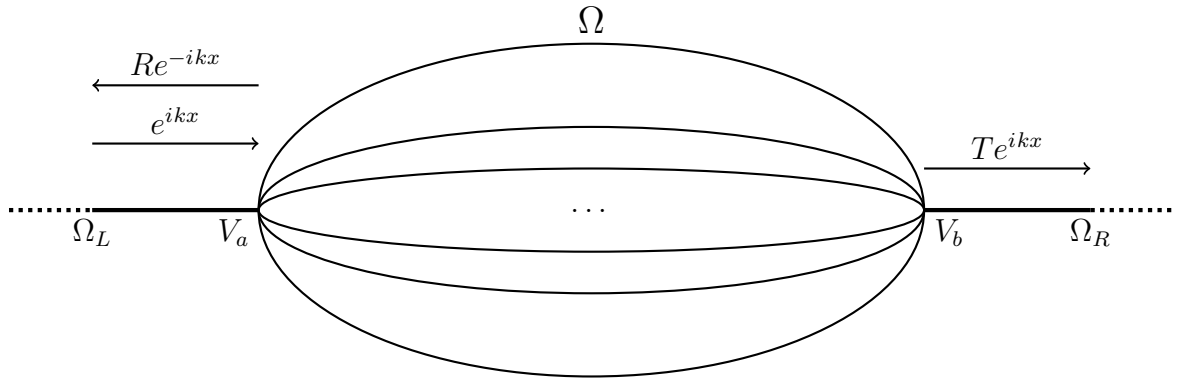
# Глава 2. Описание реализованного подхода

## 2.1. МОДЕЛЬ РЕЗОНАТОРА ТИПА «ПУЧОК»

### 2.1.1. Модель исследования

Рассмотрим систему на [рис. 2.1](#). Оператор Шредингера действует как  $-\frac{d^2\psi}{dx^2}$  на ребрах, а в вершинах  $V_a$  и  $V_b$  находятся  $\delta$ -образные потенциальные ямы, порождающие граничные условия:

$$\begin{aligned}\forall i : \psi_i(0) &= \psi_L(0) \\ \forall i : \psi_i(1) &= \psi_R(0) \\ \psi'_L(0) - \sum_{i=1}^W \psi'_i(0) &= a\psi_L(0) \\ -\psi'_R(0) + \sum_{i=1}^W \psi'_i(1) &= b\psi_R(0)\end{aligned}\tag{2.1}$$



**Рис. 2.1:** Квантовый граф  $\Gamma$ , состоящий из полубесконечных ребер  $\Omega_L, \Omega_R$  и рассеивателя  $\Omega$ , представляющего из себя  $W$  идентичных ребер длины 1. В вершинах  $V_a, V_b$  находятся  $\delta$ -образные потенциальные ямы глубины  $a$  и  $b$  соответственно.

### 2.1.2. Вычисление $S$ -матрицы

После решения системы уравнений 2.1 в сочетании с 1.1, мы получаем:

$$\det S(k) = \frac{W(a+b)k \cos(k) + 2i W k^2 \cos(k) + (i a + i b)k \sin(k) - ((W^2 + 1)k^2 - ab) \sin(k)}{W(a+b)k \cos(k) - 2i W k^2 \cos(k) - (i a + i b)k \sin(k) - ((W^2 + 1)k^2 - ab) \sin(k)}$$

### 2.1.3. Доказательство полноты резонансных состояний при $a = b = 0$

Для простоты, рассмотрим случай  $a = 0, b = 0$ . После подстановки, получим

$$s(k) = |\det S(k)| = \left| \frac{2i W \cos(k) - (W^2 + 1) \sin(k)}{2i W \cos(k) + (W^2 + 1) \sin(k)} \right| \quad (2.2)$$

Зафиксируем  $r$ , и далее, для улучшения читаемости, определим  $C = C(r)$ ,  $R = R(r)$ . Для каждого такого  $r$ , оценим интеграл и покажем, что последовательность оценок стремится к нулю.

Воспользуемся неравенством Коши-Буняковского:

$$|\langle u, v \rangle| \leq \|u\| \|v\|$$

, а если точнее, его специализацией на  $\mathcal{L}^2[a, b]$ :

$$\left| \int_a^b f(t) g^*(t) dt \right|^2 \leq \int_a^b |f(t)|^2 dt \int_a^b |g(t)|^2 dt$$

Чтобы воспользоваться неравенством, разделим подынтегральное выражение в (1.10) на  $f(t)g^*(t)$  следующим образом:

$$a = 0$$

$$b = 2\pi$$

$$f(t) = \ln s(Re^{it} + iC) \frac{\sqrt{R}}{Re^{it} + iC + i} \quad (2.3)$$

$$g^*(t) = \frac{\sqrt{R}}{Re^{it} + iC + i}$$

Далее будет показано, что  $\int |g(t)|^2$  ограничено сверху константой, не зависящей от  $r$ , а  $\int |f(t)|^2$  стремится к нулю, из чего будет немедленно следовать сходимость интеграла (1.10).

### 2.1.3.1. Оценка $\int |g(t)|^2$

$$\begin{aligned}
 |g(t)|^2 &= |g^*(t)|^2 = \frac{\sqrt{R}^2}{|R \cos t + i R \sin t + i C + i|^2} \\
 &= \frac{R}{R^2 \cos^2 t + (R \sin t + C + 1)^2} \\
 &= \frac{R}{R^2 \cos^2 t + R^2 \sin^2 t + (C + 1)^2 + 2R(C + 1) \sin t} \\
 &= \frac{1}{R + \frac{(C+1)^2}{R} + 2(C + 1) \sin t}
 \end{aligned}$$

Заметим, что:

$$\begin{aligned}
 R + \frac{(C + 1)^2}{R} - 2(C + 1) &= \frac{R^2 + C^2 + 2C + 1 - 2RC - 2R}{R} \\
 &= \frac{(R - C)^2 + 2(C - R) + 1}{R} \\
 &> 0 \quad , \text{так как } C > R
 \end{aligned}$$

Интеграл такого типа хорошо известен, и его первообразная при  $a > b$  (где  $a = R + \frac{(C+1)^2}{R}$ ,  $b = 2(C + 1)$ ):

$$\int \frac{dx}{a + b \sin x} = \frac{2}{\sqrt{a^2 - b^2}} \operatorname{atan} \frac{a \tan \frac{x}{2} + b}{\sqrt{a^2 - b^2}}$$

Далее, рассмотрим:

$$\begin{aligned}
 a^2 - b^2 &= \left(R + \frac{(C + 1)^2}{R}\right)^2 - (2(C + 1))^2 \\
 &= R^2 + \frac{(C + 1)^4}{R^2} + 2(C + 1)^2 - 4(C + 1)^2 \\
 &= \left(R - \frac{(C + 1)^2}{R}\right)^2 \quad , \text{так как } C > R \\
 &\geq \left(R - \frac{(R + 1)^2}{R}\right)^2 \\
 &\geq \left(2 + \frac{1}{R}\right)^2 \\
 &\geq 4
 \end{aligned}$$

Чтобы избежать разрыва первообразной в точке  $\pi$  (из-за неопределенности  $\tan \pi$ ), изменим интервал интегрирования на  $(-\pi, \pi)$ , на котором первообразная непрерывна. Таким образом, можно применить формулу Ньютона-Лейбница, в частности, тот факт, что

$$\left| \int_{x_1}^{x_2} f(x) dx \right| \leq |F(x_2) - F(x_1)| \leq |F(x_1)| + |F(x_2)|.$$

Итого, так как  $\frac{2}{\sqrt{a^2 - b^2}} \leq \frac{2}{2} = 1$ , а  $|\operatorname{atanh} x|$  ограничен сверху как  $\frac{\pi}{2}$ , непосредственно применяя вышеупомянутый факт, получаем что весь интеграл ограничен сверху константой  $\pi$ .

### 2.1.3.2. Оценка $\int |f(t)|^2$

Функция  $s(k)$  (2.2) слишком сложна для прямого аналитического доказательства сходимости. Однако, так как  $s(k)$  — модуль определителя  $S$ -матрицы, в верхней комплексной полуплоскости  $0 \leq s(k) \leq 1$ . Это означает, что  $s(k)$  может быть заменена на некую оценку снизу  $l(k)$ , такую что  $0 \leq l(k) \leq s(k)$ . После этого, если будет доказана сходимость к нулю для этой нижней оценки, то так как  $s(k) \leq 1$ ,  $\ln l(k) \leq \ln s(k) \leq 0$ , мы будем иметь  $\ln^2 s(k) \leq \ln^2 l(k)$ , и, следовательно, так как подынтегральное выражение неотрицательно, сходимость искомого интеграла. Мы часто будем опираться на этот факт и проводить подобные замены под знаком логарифма, заменяя сложные функции на кусочно-линейные, и используя известные оценки для логарифма чтобы оценить исходный интеграл.

### 2.1.3.3. Упрощение функции $s(k)$

Сначала мы дадим простую оценку для  $s(k)$  по всей верхней комплексной полуплоскости и сделаем ее независимой от вещественной части аргумента.

Легко видеть, что  $s(k)$  периодична относительно вещественной части аргумента при неизменной комплексной части.

У функции  $s(k)$  есть счетное число нулей, и для всех  $\operatorname{Im} k = \operatorname{atanh} \frac{2W}{W^2 + 1}$ . Для краткости, дадим обозначения:



$$V = \frac{2W}{W^2 + 1}$$

$$Z = \operatorname{atanh} V$$

Далее, заметим что для любого  $x$ ,  $s(x + iy) \leq s(iy)$ . После всех вышеупомянутых замечаний, для  $s(x + iy)$  можно дать довольно простую нижнюю оценку:

$$\begin{aligned} l(x + iy) &= \left| \frac{(W^2 + 1) \sinh y - 2W \cosh y}{(W^2 + 1) \sinh y + 2W \cosh y} \right| \\ &= \left| \frac{\tanh y - V}{\tanh y + V} \right| \quad (\text{так как } \cosh y \geq 1) \end{aligned}$$

Легко понять, что у функции  $l(k)$  будут нули вдоль линии  $\operatorname{Im} k = Z$ , что значит, что вдоль этой линии у функции  $\ln l(k)$  будет бесконечное множество особенностей. Интуитивно, это не должно испортить сходимость, так как контур интегрирования все равно мог пересечь сингулярность функции  $\ln s(k)$ . Действительно, далее мы покажем, что даже такое загромождение функции позволяет доказать сходимость. Далее, для краткости записи, будем опускать вещественную часть аргумента и обозначим  $l(y) = l(x + iy)$ , где  $x$  может быть любым, так как  $l$  от него все равно не зависит.

После построения нижней оценки можно упростить интеграл, который мы исследуем:

$$\begin{aligned} \int_{t=0}^{2\pi} |f(t)|^2 dt &= \int_{t=0}^{2\pi} \ln^2 l(Re^{it} + iC) \frac{R}{\|Re^{it} + iC + i\|^2} dt \\ &= \int_{t=0}^{2\pi} \ln^2 l(R \sin t + C) \frac{R}{R^2 \cos^2 t + (R \sin t + C + 1)^2} dt \end{aligned}$$

Во-первых, заметим, что:

$$\sin(-\pi/2 + t) = \sin(-\pi/2 - t) = -\cos t$$

$$\cos^2(-\pi/2 + t) = \cos^2(-\pi/2 - t) = \sin^2 t$$

, то есть подынтегральное выражение симметрично относительно оси  $y$ , и, следовательно, достаточно доказать сходимость интеграла на отрезке  $-\pi/2 \leq t \leq \pi/2$ .

Далее, заменим переменную интегрирования:

$$\begin{aligned}
y &= R \sin t + C \\
t &= \arcsin \frac{y - C}{R} \\
dt &= \frac{1}{\sqrt{R^2 - (C - y)^2}} dy \\
\cos t &= \frac{\sqrt{R^2 - (C - y)^2}}{R} \\
y(-\pi/2) &= C - R \\
y(\pi/2) &= C + R
\end{aligned}$$

, что после подстановки дает:

$$\begin{aligned}
& \int_{y=C-R}^{C+R} \ln^2 f(y) \frac{R}{R^2 \cos^2 t + (R \sin t + C + 1)^2} dy \\
&= \int_{y=C-R}^{C+R} \ln^2 f(y) \frac{R}{R^2 - (C - y)^2 + (y + 1)^2} \frac{1}{\sqrt{R^2 - (C - y)^2}} dy \\
&= \int_{y=C-R}^{C+R} \ln^2 f(y) \frac{R}{R^2 - C^2 + 2(C + 1)y + 1} \frac{1}{\sqrt{R + C - y}} \frac{1}{\sqrt{R - C + y}} dy
\end{aligned} \tag{2.4}$$

На пути интегрирования присутствуют особенности при  $y = C - R$ ,  $y = Z$ ,  $y = C + R$ , и подынтегральное выражение все еще достаточно сложно для непосредственной оценки. Разделим интеграл на несколько сегментов и оценим каждый.

#### 2.1.3.4. Случай 1: $C - R \leq y \leq Z$

Очень важным свойством  $s(k)$  является ее стремление к 1 при  $\text{Im } k$  стремящемся к нулю. Благодаря этому  $\ln s(k)$  стремится к нулю, что в свою очередь необходимо чтобы компенсировать сингулярность функции  $\frac{1}{R - C + y}$  при  $y = C - R$ . Интуитивно, контур интегрирования становится все ближе и ближе к  $\mathbb{R}$  при увеличении радиуса и если бы  $\ln s(k)$  не занулялась, сходимость бы пропала. Таким образом, разумная нижняя оценка на  $s(k)$  также должна удовлетворять свойству сходимости к 1 при  $\text{Im } k$  стремящемся к 0.

Так как  $l$  выпукла при  $0 \leq y \leq Z$ , она может быть оценена снизу с помощью первой производной в 0. Однако, этого недостаточно, так как это нарушит неотрицательность выражения под знаком логарифма, следовательно, надо быть аккуратнее и оценить снизу функцию в точке  $Z$  в том числа, после чего склеить эти две оценки в некой точке  $Z_0$ :

$$\begin{aligned} f(y) &= \begin{cases} l'(0)y + 1 & , 0 \leq y < Z_0 \\ l'(Z)(y - Z) & , Z_0 \leq y < Z \end{cases} \\ &= \begin{cases} \frac{-2}{V}y + 1 & , 0 \leq y < Z_0 \\ \frac{1}{2V}(V^2 - 1)(y - Z) & , Z_0 \leq y < Z \end{cases} \end{aligned}$$

Заметим, что в качестве  $Z_0$  можно взять любое число в полуинтервале  $[C - R, Z)$  (оценка снизу не обязана быть непрерывной функцией), главное чтобы  $f(y)$  была неотрицательно определенной. Для простоты вычислений нам подойдет  $Z_0 = \frac{V}{4}$ .

Далее, отдельно рассматриваем интегралы на участках  $[C - R, \frac{V}{4})$  и  $[\frac{V}{4}, Z)$ .

### 2.1.3.5. $C - R \leq y < \frac{V}{4}$

Посчитаем верхнюю оценку на подынтегральное выражение (2.4). Заметим, что при  $C - R \leq y \leq \frac{V}{4}$ :

$$\begin{aligned} &\ln^2 l(y) \frac{R}{R^2 - C^2 + 2(C + 1)y + 1} \frac{1}{\sqrt{R + C - y}} \frac{1}{\sqrt{R - C + y}} \\ &\leq \ln^2 \left(1 - \frac{2}{V}y\right) \frac{R}{R^2 - C^2 + 2(C + 1)y + 1} \frac{1}{\sqrt{R + C - Z}} \frac{1}{\sqrt{R - C + y}} \end{aligned}$$

, воспользуемся неравенством  $\frac{x}{1+x} \leq \ln(1+x)$  для  $x > -1$ , где  $x = -\frac{2}{V}y$ .

Так как выражение под логарифмом меньше единицы, получим что

$$\ln^2(1+x) \leq \frac{x^2}{(1+x)^2}:$$

...

$$\begin{aligned} &\leq \frac{\frac{4}{V^2}y^2}{(1 - \frac{2}{V}y)^2} \frac{R}{R^2 - C^2 + 2(C+1)y + 1} \frac{1}{\sqrt{R+C-Z}} \frac{1}{\sqrt{R-C+y}} \\ &\leq \frac{\frac{4}{V^2}y^2}{(1 - \frac{2}{V}\frac{V}{4})^2} \frac{R}{R^2 - C^2 + 2(C+1)y + 1} \frac{1}{\sqrt{R+C-Z}} \frac{1}{\sqrt{R-C+y}} \end{aligned}$$

Заметим, что подынтегральное выражение теперь имеет вид  $\frac{y^2}{a+by}$ , где  $a = R^2 - C^2 + 1$ ,  $b = 2(C+1)$ , и при достаточно больших  $R$  и  $C$ ,  $a > 0$  и  $b > 0$ . Заметим, что при этом  $\frac{y^2}{a+by}$  неотрицательно при  $y > 0$ , и строго возрастает:

$$\left( \frac{y^2}{a+by} \right)' = \frac{2y}{a+by} + y^2 \frac{-b}{(a+by)^2} = \frac{2y(a+by) - by^2}{(a+by)^2} = \frac{y(2a+by)}{(a+by)^2} \geq 0$$

Следовательно, функцию можно оценить сверху ее значением на правом конце интервала в точке  $\frac{V}{4}$ , и легко видеть, что:

$$\frac{y^2}{a+by} = \mathcal{O}\left(\frac{1}{R}\right)$$

Оставшаяся часть интеграла имеет вид:

$$\int_{C-R}^{\frac{V}{4}} \frac{1}{\sqrt{R-C+y}} = 2\sqrt{\frac{V}{4} - C + R} = \mathcal{O}(1)$$

, и в итоге весь интеграл на участке  $[C-R, \frac{V}{4}]$  имеет порядок  $\mathcal{O}\left(\frac{1}{R}\right)$ .

### 2.1.3.6. $\frac{V}{4} \leq y < Z$

Оценим сверху подынтегральное выражение (2.4). Заметим, что для  $\frac{V}{4} \leq y < Z$ :

$$\begin{aligned} &\ln^2 f(y) \frac{R}{R^2 - C^2 + 2(C+1)y + 1} \frac{1}{\sqrt{R+C-y}} \frac{1}{\sqrt{R-C+y}} \\ &\leq \ln^2 f(y) \frac{R}{R^2 - C^2 + 2(C+1)\frac{V}{4} + 1} \frac{1}{\sqrt{R+C-Z}} \frac{1}{\sqrt{R-C+\frac{V}{4}}} \\ &\leq \ln^2 \left( \frac{1}{2V}(V^2 - 1)(y - Z) \right) \frac{R}{R^2 - C^2 + 2(C+1)\frac{V}{4} + 1} \frac{1}{\sqrt{R+C-Z}} \frac{1}{\sqrt{R-C+\frac{V}{4}}} \end{aligned}$$

Функция  $\ln^2(x)$  интегрируема в окрестности  $x = 0$ , и известно что:

$$\int_{x=x_0}^b \ln^2(a(x-b))dx = (b-x_0)(\ln^2(a(x_0-b)) - 2\ln(a(x_0-b)) + 2)$$

В нашем случае:  $x_0 = \frac{V}{4}$ ,  $b = Z$ , следовательно,  $x_0 - b \neq 0$  и определенный интеграл ограничен постоянной, не зависящей от  $R$  и  $C$ . Таким образом, поведение интеграла зависит только от поведения множителя:

$$\frac{R}{R^2 - C^2 + 2(C+1)\frac{V}{4} + 1} \frac{1}{\sqrt{R - C + \frac{V}{4}}} \frac{1}{\sqrt{R + C - Z}}$$

Очевидно, что при  $r \rightarrow \infty$ ,  $R \rightarrow \infty$ ,  $C \rightarrow \infty$ ,  $R - C \rightarrow 0$ , и можно легко видеть, что выражение выше принадлежит классу  $\mathcal{O}(\frac{1}{\sqrt{R}})$ , и, следовательно, в пределе будет зануляться.

### 2.1.3.7. Случай 2: $y > Z$

При  $y > Z$ ,

$$l(x + iy) = \frac{\tanh y - V}{\tanh y + V} = 1 - 2\frac{V}{\tanh y + V}$$

Так как  $l$  вогнута, строго возрастает, и для фиксированного  $r$ , нас интересуют только  $y \leq C + R$ , мы можем оценить функцию линейной:

$$f(y) = \frac{l(C + R)}{C + R - Z}(y - Z)$$

Заметим, что в точке  $C + R$ , для начиная с достаточно большого  $r$ , функция  $l(y)$  с зажата константами, не зависящими от  $C$  и  $R$ . Это легко понять так как  $\tanh y$  на бесконечности уходит к 1, соответственно,  $l(y)$  в пределе будет равно  $1 - \frac{2V}{V+1}$ . Это является довольно важным свойством данного квантового графа, если бы  $l$  на бесконечности устремлялась к нулю, эта часть доказательства не могла бы быть проведена (см. [разд. 2.2](#)).

В начале заметим, что на всем участке  $Z \leq y \leq R + C$  у функции  $\frac{1}{\sqrt{R-C+y}}$  нет сингулярности, и подынтегральное выражение (2.4) можно оце-

нить как:

$$\begin{aligned} & \ln^2 f(y) \frac{R}{R^2 - C^2 + 2(C+1)y + 1} \frac{1}{\sqrt{R+C-y}} \frac{1}{\sqrt{R-C+y}} \\ & \leq \ln^2 f(y) \frac{R}{R^2 - C^2 + 2(C+1)y + 1} \frac{1}{\sqrt{R+C-y}} \frac{1}{\sqrt{R-C+Z}} \end{aligned} \quad (2.5)$$

Чтобы оценить это выражение, разделим интеграл на интервалы  $[Z, Z + \frac{1}{R})$ ,  $[Z + \frac{1}{R}, C)$ ,  $[C, C + R]$ .

### 2.1.3.8. $Z \leq y < Z + \frac{1}{R}$

Оценим сверху выражение (2.5):

$$\begin{aligned} & \ln^2 f(y) \frac{R}{R^2 - C^2 + 2(C+1)y + 1} \frac{1}{\sqrt{R+C-y}} \frac{1}{\sqrt{R-C+Z}} \\ & \leq \ln^2 f(y) \frac{R}{R^2 - C^2 + 2(C+1)Z + 1} \frac{1}{\sqrt{R+C-(Z+\frac{1}{R})}} \frac{1}{\sqrt{R-C+Z}} \end{aligned}$$

$\int_Z^{Z+\frac{1}{R}} \ln^2 f(y) dy$  легко вычислить явно, используя:

$$\int_b^{b+c} \ln^2(a(x-b)) dx = c(\ln^2(ac) - 2\ln(ac) + 2)$$

Таким образом,  $\int_Z^{Z+\frac{1}{R}} \ln^2 f(y) dy = \frac{1}{R}(\ln^2(\frac{l(C+R)}{C+R-Z} \frac{1}{R}) - 2\ln(\frac{l(C+R)}{C+R-Z} \frac{1}{R}) + 2)$ .

Так как  $l(C+R)$  ограничена константами, не зависящими от  $r$ , раскрывая логарифмы, легко можно понять что выражение принадлежит классу  $\mathcal{O}(\frac{\ln^2 R}{R})$ . Учитывая что коэффициент перед интегралом:

$$\frac{R}{R^2 - C^2 + 2(C+1)Z + 1} \frac{1}{\sqrt{R+C-(Z+\frac{1}{R})}} \frac{1}{\sqrt{R-C+Z}}$$

, очевидно, имеет порядок  $\mathcal{O}(\frac{1}{\sqrt{R}})$ , очевидно что интеграл на данном интервале стремится к нулю при  $R, C \rightarrow \infty$ .

### 2.1.3.9. $Z + \frac{1}{R} \leq y < C$

Оценим сверху выражение (2.5):

$$\begin{aligned} & \ln^2 f(y) \frac{R}{R^2 - C^2 + 2(C+1)y + 1} \frac{1}{\sqrt{R+C-y}} \frac{1}{\sqrt{R-C+Z}} \\ & \leq \ln^2 f\left(Z + \frac{1}{R}\right) \frac{R}{R^2 - C^2 + 2(C+1)Z + 1} \frac{1}{\sqrt{R+C-C}} \frac{1}{\sqrt{R-C+Z}} \end{aligned}$$

Первообразная для функции подобного вида широко известна:

$$\int \frac{1}{ax+b} = \frac{\ln(ax+b)}{a}$$

, где в нашем случае  $a = 2(C+1)$ ,  $b = R^2 - C^2 + 1$ . Применяя формулу Ньютона-Лейбница для интервала  $(Z + \frac{1}{R}, C)$ , получим:

$$\frac{\ln \frac{2(C+1)C+R^2-C^2+1}{2(C+1)(Z+\frac{1}{R})+R^2-C^2+1}}{2(C+1)} = \mathcal{O}\left(\frac{\ln R}{R}\right)$$

При стремлении  $R$  к бесконечности,  $\ln^2 f(Z + \frac{1}{R})$  будет также стремиться к бесконечности, поэтому необходимо оценить порядок особенности. Так как  $\ln f(Z + \frac{1}{R}) = \ln \left( \frac{l(C+R)}{C+R-Z} \frac{1}{R} \right) = \ln l(C+R) - \ln(C+R-Z) - \ln R$ , легко видеть что  $\ln^2 f(Z + \frac{1}{R}) = \mathcal{O}(\ln^2 R)$ .

В результате, комбинируя все оценки, получаем:  $\mathcal{O}(\ln^2 R) \mathcal{O}\left(\frac{\ln R}{R}\right) \frac{R}{\sqrt{R}} \frac{1}{\sqrt{R-C+Z}} = \mathcal{O}\left(\frac{\ln^3 R}{\sqrt{R}}\right)$ , что означает что интеграл на этом участке стремится к 0 с увеличением  $r$ .

### 2.1.3.10. $C \leq y \leq C+R$

Оценим сверху выражение (2.5):

$$\begin{aligned} & \ln^2 f(y) \frac{R}{R^2 - C^2 + 2(C+1)y + 1} \frac{1}{\sqrt{R+C-y}} \frac{1}{\sqrt{R-C+Z}} \\ & \leq \ln^2 f(C) \frac{R}{R^2 - C^2 + 2(C+1)C + 1} \frac{1}{\sqrt{R+C-C}} \frac{1}{\sqrt{R-C+Z}} \end{aligned}$$

Интеграл  $\frac{1}{\sqrt{R+C-y}}$  от  $C$  до  $C+R$  тривиален и равен  $2\sqrt{R}$ . Функция  $f$  в точке  $C$  ограничена константами не зависящими от  $R$  и  $C$ , следовательно, и квадрат ее логарифма. Очевидно, что в результате получим выражение  $\mathcal{O}\left(\frac{1}{R}\right) \sqrt{R} = \mathcal{O}\left(\frac{1}{\sqrt{R}}\right)$ .

### 2.1.3.11. Оценка $\int |f(t)|^2$ : итог

Итого, мы разбили интегрирование на пять различных участков, и в итоге имеем порядок интеграла:

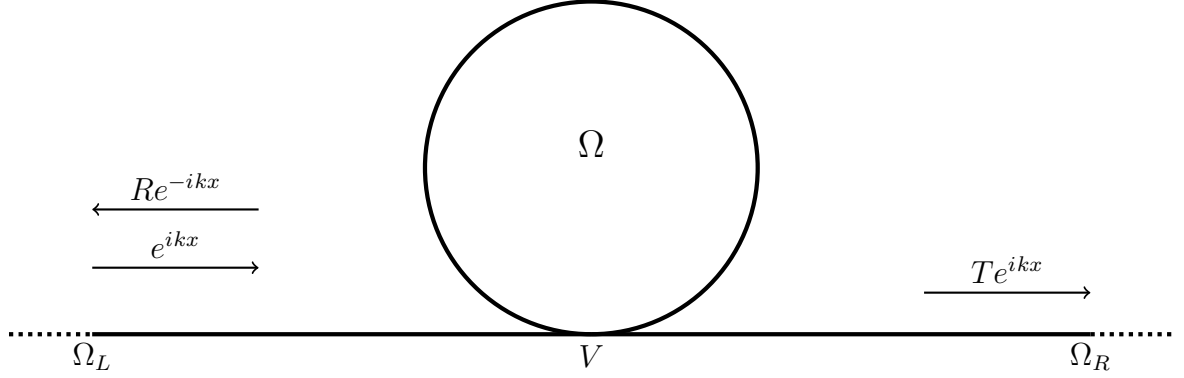
$$\mathcal{O}\left(\frac{1}{R}\right) + \mathcal{O}\left(\frac{1}{\sqrt{R}}\right) + \mathcal{O}\left(\frac{1}{\sqrt{R}}\right) + \mathcal{O}\left(\frac{\ln^3 R}{\sqrt{R}}\right) + \mathcal{O}\left(\frac{1}{\sqrt{R}}\right) = \mathcal{O}\left(\frac{\ln^3 R}{\sqrt{R}}\right)$$

, что означает, что весь интеграл уходит в 0 при стремлении  $r$  к 1 (соответственно,  $R$  к бесконечности), что и требовалось доказать.



## 2.2. МОДЕЛЬ РЕЗОНАТОРА ТИПА «КОЛЬЦО»

### 2.2.1. Модель исследования



**Рис. 2.2:** Квантовый граф  $\Gamma$ , состоящий из полубесконечных ребер  $\Omega_L, \Omega_R$  и рассеивателя  $\Omega$ , представляющего из себя окружность длиной 1. В вершине  $V$  установлена  $\delta$ -образная потенциальная яма глубиной  $a$ .

Мы рассматриваем случай рассеяния волны с волновым вектором  $k$ , приходящей слева направо. Таким образом, волновые функции на различных частях графа принимают следующий вид:

$$\begin{aligned}\psi_L(x) &= e^{ikx} + Re^{-ikx} \\ \psi_R(x) &= Te^{ikx} \\ \psi_\Omega(x) &= P \sin(kx) + Q \cos(kx)\end{aligned}\tag{2.6}$$

, где  $R$  и  $T$  — коэффициенты отражения и прохождения волны. Так как граф симметричен, его матрица рассеяния принимает вид  $S(k) = \begin{pmatrix} R(k) & T(k) \\ T(k) & R(k) \end{pmatrix}$ .

В вершине  $V$  мы ставим  $\delta$ -образную потенциальную яму высотой  $a$ , которая порождает следующие граничные условия:

$$\begin{aligned}\psi_L(0) &= \psi_R(0) = \psi_\Omega(0) = \psi_\Omega(1) \\ -\psi'_L(0) + \psi'_\Omega(0) - \psi'_\Omega(1) + \psi'_R(0) &= a\psi_L(0)\end{aligned}\tag{2.7}$$

### 2.2.2. Вычисление S-матрицы

Определим коэффициенты прохождения и отражения, подставив функции (2.6) в (2.7) и решив систему линейных уравнений:

$$\begin{aligned} 1 + R &= T \\ 1 + R &= Q \\ Q \cos k + P \sin k &= T \\ -Pk \cos k + Qk \sin k + Pk + iRk + iTk - ik &= Ta \end{aligned}$$

Решив систему, получаем:

$$\begin{aligned} R(k) &= -\frac{2k \cos(k) + a \sin(k) - 2k}{2k \cos(k) + (a - 2ik) \sin(k) - 2k} \\ T(k) &= -\frac{2ik \sin(k)}{2k \cos(k) + (a - 2ik) \sin(k) - 2k} \end{aligned}$$

, подставляя полученные значения коэффициента прохождения и отражения в S-матрицу, получаем определитель S-матрицы в замкнутой форме:

$$\det S = \frac{\cos(k) + \left(\frac{a}{2k} + i\right) \sin(k) - 1}{\cos(k) + \left(\frac{a}{2k} - i\right) \sin(k) - 1} \quad (2.8)$$

### 2.2.3. Доказательство неполноты резонансных состояний при $a = 0$

Рассмотрим случай  $a = 0$ :

$$\det S = \frac{\cos(k) + i \sin(k) - 1}{\cos(k) - i \sin(k) - 1} = \frac{e^{ik} - 1}{e^{-ik} - 1} = -e^{ik}$$

Из выражения выше легко заметить, что подынтегральное выражение в критерии полноты (1.8) сводится к  $\ln |\det S| = \ln e^{-\operatorname{Im} k} = -\operatorname{Im} k$ . Вычислим интеграл в пространстве единичного диска, для этого применим обратное преобразование Кэли (1.4), к подынтегральной функции:  $\operatorname{Im} k \rightarrow \operatorname{Im} \left( i \frac{1+\zeta}{1-\zeta} \right)$ .

$$\lim_{r=1} \int_{|\zeta|=r} \ln |\det S(\zeta)| d\zeta = \lim_{r=1} \int_{|\zeta|=r} \operatorname{Im} \left( i \frac{1+\zeta}{1-\zeta} \right) d\zeta = \dots$$

, параметризуем контур интегрирования полярными координатами:  $\zeta \rightarrow re^{i\varphi}, d\zeta \rightarrow rie^{i\varphi}$ :

$$\dots = \lim_{r=1} \int_{|\zeta|=r} \operatorname{Im} \left( i \frac{1+re^{i\varphi}}{1-re^{i\varphi}} \right) rie^{i\varphi} d\varphi$$

Комплексный интеграл складывается из сумм интегралов действительной и мнимой части подынтегрального выражения. Рассчитаем мнимую часть:

$$\begin{aligned} \operatorname{Im} \left( \operatorname{Im} \left( i \frac{1+re^{i\varphi}}{1-re^{i\varphi}} \right) rie^{i\varphi} \right) &= r \operatorname{Re} \left( \operatorname{Re} \left( \frac{1+re^{i\varphi}}{1-re^{i\varphi}} \right) e^{i\varphi} \right) \\ &= r \operatorname{Re} \left( \frac{1+re^{i\varphi}}{1-re^{i\varphi}} \right) \operatorname{Re} (e^{i\varphi}) \\ &= r \operatorname{Re} \left( \frac{(1+re^{i\varphi})(1-re^{-i\varphi})}{(1-re^{i\varphi})(1-re^{-i\varphi})} \right) \cos \varphi \\ &= r \operatorname{Re} \left( \frac{1-r^2+2ir \sin \varphi}{1+r^2-2r \cos \varphi} \right) \cos \varphi \\ &= r \frac{1-r^2}{1+r^2-2r \cos \varphi} \cos \varphi \end{aligned}$$

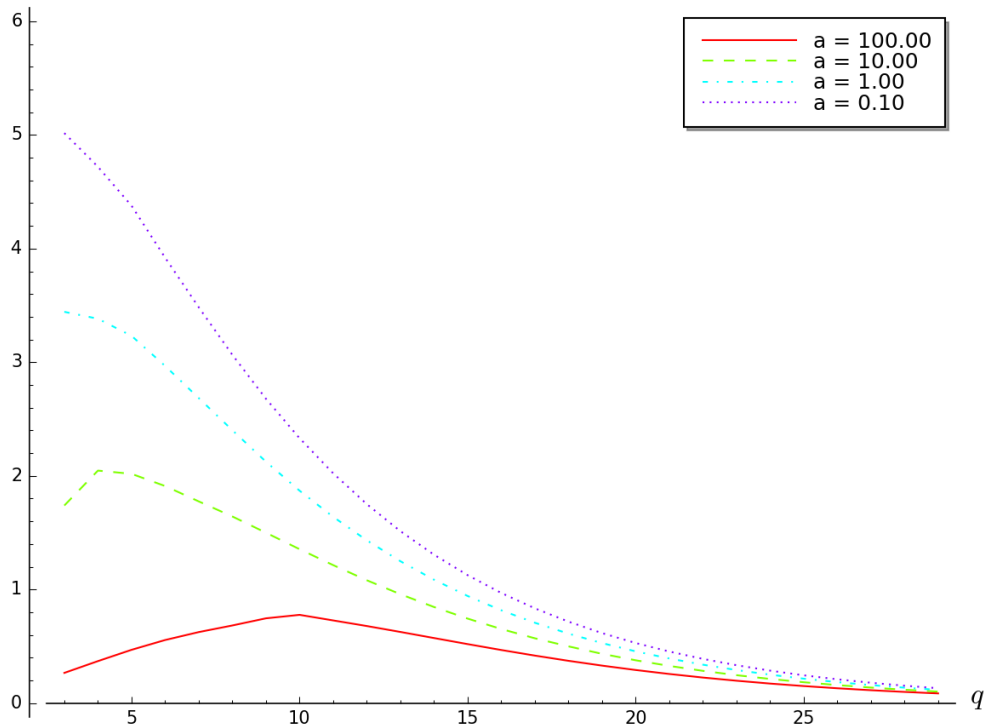
Интегрируя, получаем  $2\pi r^2$ , что значит, что предел мнимой части при  $r \rightarrow 1$  равен  $2\pi$ , следовательно, по критерию полноты, система резонансных состояний графа  $\Gamma$  не является полной на кольце  $\Omega$ .

#### 2.2.4. Исследование полноты при $a \neq 0$

При  $a \neq 0$ , определитель  $S$ -матрицы (2.8), и его нули имеют гораздо более сложную структуру, и не выразимы аналитически, что затрудняет исследование полноты. Однако, этот случай интересен тем, что при сколь угодно малом  $a$ , система резонансных состояний будет полна, что является

качественным отличием от случая  $a = 0$ , в частности, это означает что исследуя кольцо как подграф некого квантового графа, мы не можем перейти к пределу  $a = 0$ , постепенно уменьшая  $a$ , ведь мы можем потерять свойство полноты.

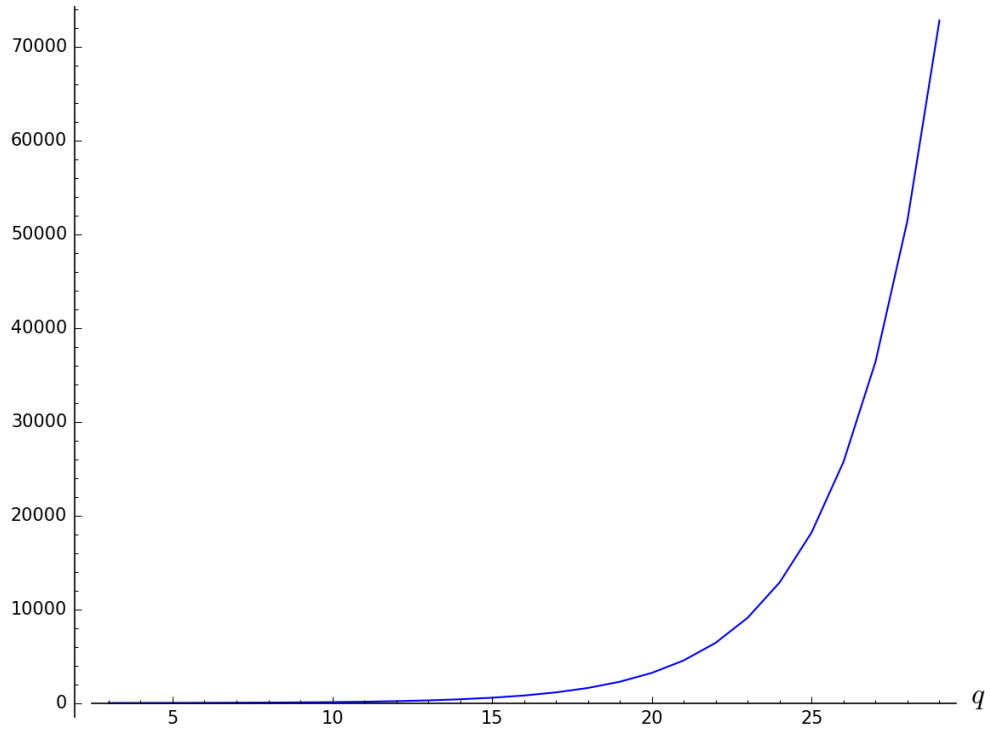
Полнота в этом случае была исследована разбиением интеграла на две части пользуясь неравенством Коши-Буняковского, аналогично 2.3, а далее проанализирована сходимость с помощью численного интегрирования. Его результаты приведены на рис. 2.3 и рис. 2.4, а программа, проводящая интегрирование прикреплена в гл. А.



**Рис. 2.3:** Зависимость результата численного интегрирования выражения 2.3 при различных ненулевых  $a$ , где  $r = 1 - 2^{-q}$ . Можно наблюдать тенденцию к сходимости интегралов.

Можно интуитивно обосновать, почему интеграл сходится. Рассмотрим  $\det S(iy)$  при большом  $y$ , в этом случае получаем:

$$\begin{aligned} \det S(iy) &= \frac{e^{i y} + \frac{a}{2iy} \frac{e^{i y} + e^{-i y}}{2i} - 1}{e^{-i y} + \frac{a}{2iy} \frac{e^{i y} + e^{-i y}}{2i} - 1} \\ &= \frac{e^{-y} - \frac{a}{4y} (e^{-y} + e^y) - 1}{e^y - \frac{a}{4y} (e^{-y} + e^y) - 1} \end{aligned}$$



**Рис. 2.4:** Зависимость результата численного интегрирования выражения 2.3 при  $a = 0$ , где  $r = 1 - 2^{-q}$ . Можно наблюдать тенденцию к расходимости интеграла.

, так как  $e^{-y} \rightarrow 0$ ,  $ye^{-y} \rightarrow 0$ , легко видеть, что выражение выше будет иметь порядок  $\frac{a}{y}$ , и, соответственно, его логарифм — порядок  $\ln y$ , что является принципиальным отличием от случая  $a = 0$ , когда порядок логарифма был  $y$  (см. [разд. 2.2.3](#)). Однако, строгое обоснование данного факта требует более тщательного анализа.

# Заключение

В работе исследовано поведение системы резонансных состояний различных квантовых графов, в частности, аналитически исследован вопрос полноты. Резонансные состояния таких систем сложно получить в явном виде, и соответственно, доказать полноту системы напрямую. Данная работа отличается новизной, так как ранее подобное исследование было проведено только для двух простейших моделей резонаторов [5].

В [разд. 2.1](#) была доказана полнота резонансных состояний для квантового графа сложной формы. Выработанный подход к доказательству может быть обобщен и использован для доказательства полноты для других граничных условий и квантовых графов.

В [разд. 2.2](#) было показано качественно различное поведение, казалось бы, похожих моделей и показано что полнота системы может быть потеряна в ходе непрерывной трансформации квантового графа и его граничных условий. Это является весьма важным свойством, которое означает что исследование полноты системы резонансных состояний сложного квантового графа не всегда может быть легко сведено к исследованию полноты для более простого квантового графа, полученного, например, стягиванием ребер исходного, и возможно, для исследования полноты произвольного квантового графа необходим некий сложный шаг индукции, если не другой подход. Также заметим, что в произвольном квантовом графе ребра могут соединять либо две разные вершины, либо быть петлей, что и является резонатором типа «кольцо», исследованным в данной работе.

Некоторые из результатов работы были опубликованы в [12] и приняты для презентации презентации на конференции [13].

Проведенное исследование является важной подзадачей в более общей задаче нахождения пространства, в котором резонансные состояния квантового графа будут образовывать полную систему.

Естественным продолжением данной работы может являться иссле-

дование полноты системы резонансных состояний при других граничных условиях в точке соединения резонатора и волновода.

## Список литературы

1. *Rayleigh L.* The theory of the Helmholtz resonator // Proceedings of the Royal Society of London. Series A, Containing Papers of a Mathematical and Physical Character. 1916. No.638. Pp. 265–275.
2. *Lax P. D., Phillips R. S.* Scattering theory. Vol. 26. Academic press, 1990.
3. *Adamjan V., Arov D.* On a class of scattering operators and characteristic operator-functions of contractions / Dokl. Akad. Nauk SSSR. Vol. 160. No.1. 1965. Pp. 9–12.
4. *Reed M., Simon B.* Methods of Modern Mathematical Physics: Functional analysis. Methods of Modern Mathematical Physics no.v. 1. Academic Press, 1980. ISBN: 9780125850506.
5. *Popov A. I.* Quantum graph model of Helmholtz resonator / Spectral Theory and Applications: conference in memory of Boris Pavlov, Book of Abstracts. 2016. P. 15.
6. *Perelomov A. M., Zel'dovich Y. B.* Quantum mechanics: selected topics. World Scientific, 1998.
7. *Kuchment P.* Graph models for waves in thin structures // Waves in Random Media. 2002. No.4. R1–R24.
8. *Lobanov I., Trifanov A., Trifanova E.* Genetic algorithm for constructing graphene nanoribbon with given electronic transport properties // Nanosystems: Phys. Chem. Math. 2013.
9. *Brown B., Exner P., Kuchment P., Sunada T.* Analysis on Graphs and its Applications // Month. 2010.
10. *Lax P. D., Phillips R. S.* A scattering theory for automorphic functions // Séminaire Équations aux dérivées partielles (Polytechnique). 1976. Pp. 1–7.
11. *Nikol'skii N. K.* Treatise on the shift operator: spectral function theory. Vol. 273. Springer Science & Business Media, 2012.
12. *Герасимов Д. А.* Неполнота системы резонансных функций для резонатора-кольца / Труды студенческого центра прикладных математических исследований. под ред. Бойцева А. А. Попова И. Ю. Правдиной К. В. Университет ИТМО, 2016. с. 22–25.
13. *Gerasimov D. A., Popov I. Y., Popov A. I.* Resonant states for quantum ring with two infinite leads. Days on Diffraction. 2016. <http://www.pdmi.ras.ru/~dd/index.php>.



## Приложения

## Приложение А

### Исходный код программы для численного интегрирования

**Листинг А.1:** Исходный код программы для численного интегрирования (см. [разд. 2.2](#)). Программа реализована в математическом пакете Sage версии 7.0.

```
from numpy import arange

def cvar(name):
    return var(name, domain=CC)

def rvar(name):
    return var(name, domain=RR)

def icayley(z):
    return i * (1 + z) / (1 - z)

def cayley(z):
    return (z - i) / (z + i)

def my_numerical_integral(expr, x, ff, tt):
    f = fast_callable(expr, vars=[x], domain=CC)
    res, err = numerical_integral(f, ff, tt)
    if err > 0.1:
        raise RuntimeError("Error is too large")
    return res

k = cvar('k')
R, t = rvar('R'), rvar('t')
x, y = rvar('x'), rvar('y')

CCC(r) = ((icayley(r) + icayley(-r)) / 2).imag()
RRR(r) = ((icayley(r) - icayley(-r)) / 2).imag()

def plot_all(lines):
    p = sum(lines)
    p.set_legend_options(handlelength=5)
    p.axes_labels(['$q$', ''])
    return p

def test_convergence(s, color='blue', style='-', label=''):
    rs = []
    ints = []
    for q in range(3, 30, 1):
        r = 1 - 2 ^ (-q)

        rr = RRR(r=r).n()
        cc = CCC(r=r).n()

        f = ln(s(k=rr * exp(i * t) + cc * i)) * sqrt(rr) / (rr * exp(i * t) + cc * i + i)
        g = sqrt(rr) / (rr * exp(i * t) + cc * i + i)

        int_f = my_numerical_integral(norm(f), t, 0, 2 * pi)
```

```

    int_g = my_numerical_integral(norm(g), t, 0, 2 * pi)

    rs.append(q)
    ints.append(sqrt(int_f * int_g))
    print("F□=□" + str(int_f))

    return line(zip(rs, ints), rgbcolor=color, linestyle=style, legend_label=label)

a_values = [100, 10, 1, 0.1]
a_zero = 0.0

a = rvar('a')
s = abs((cos(k) + (a / (2 * k) + i) * sin(k) - 1) / (cos(k) + (a / (2 * k) - i) * sin(k) -
1))

plots = []
for aa, color, style in zip(a_values, rainbow(len(a_values)), ['- ', '--', '-.', ':']):
    label = "a□=□{:.2f}".format(float(aa))
    plots.append(test_convergence(s(a=aa), color=color, style=style, label=label))

plot_all(plots).save('plots_converging.png', ymin=0, ymax=6, dpi=150)
plot_all([test_convergence(s(a=a_zero))]).save('plots_diverging.png', ymin=0, dpi=150)

```